

*d*-электронов с различными проекциями спина на ось намагниченности, хотя основными носителями заряда являются *s*-электроны. Это обстоятельство необходимо учитывать и при рассмотрении эффекта гигантского магнетосопротивления в многослойных структурах и сэндвичах.

#### Литература

1. Stiles M.D. // Phys. Rev. 1993. **B48**, No. 10. P. 7238.
2. Suzuki Y., Katayama T., Yoshida S. et al. // Phys. Rev. Lett. 1992. **68**. P. 3355.
3. Katayama T., Suzuki Y., Awano H. // Phys. Rev. Lett. 1988. **60**. P. 1426.

4. Сандомирский В.Б. // ЖЭТФ. 1967. **52**, № 1. С. 158.
5. Zhang X.-G., Butler W.H. // Phys. Rev. 1995. **B 51**. P. 10085.
6. Trivedi N., Ashcroft N.V. // Phys. Rev. 1988. **B38**. P. 12298.
7. Hoffmann H., Fisher G. // Thin Solid Films. 1976. **36**. P. 25.
8. Fisher G., Hoffmann H. // Solid State Commun. 1980. **35**. P. 793.
9. Camblong H.C., Levy P.M., Zhang S. // Phys. Rev. 1995. **B51**. P. 16052.
10. Crepieux A., Lacroix C., Ryzhanova N., Vedyayev A. // Phys. Lett. 1997. **A 229**. P. 401.

Поступила в редакцию  
08.07.98

УДК 538.214; 537.248

## ПРИРОДА СПИНСТЕКЛООБРАЗНОЙ ФАЗЫ В ПОЛУПРОВОДНИКОВЫХ СПИНОВЫХ СТЕКЛАХ СИСТЕМЫ $x \text{CuCr}_2\text{Se}_4 - (1-x)\text{Cu}_{0,5}\text{Me}_{0,5}\text{Cr}_2\text{Se}_4$ ( $\text{Me} = \text{In}, \text{Ga}$ )

А. И. Абрамович, Л. И. Королева

(кафедра общей физики для естественных факультетов)

Изучена зависимость магнетосопротивления  $\Delta\rho/\rho$  от квадрата намагниченности  $\sigma^2$  в сильных магнитных полях в системе  $x \text{CuCr}_2\text{Se}_4 - (1-x)\text{Cu}_{0,5}\text{Me}_{0,5}\text{Cr}_2\text{Se}_4$  ( $\text{Me} = \text{In}, \text{Ga}$ ). Показано, что и в спиновых стеклах (СС), и в возвратном спиновом стекле (ВСС) этой системы при температуре замораживания  $T_f$  происходит изменение наклона зависимостей  $(\Delta\rho/\rho)(\sigma^2)$ , что указывает на существенную перестройку спиновой системы при  $T = T_f$ , т. е. на наличие в ней термодинамического фазового перехода. Показано, что спинстеклообразная фаза в ВСС состоит из спинов отдельных ионов  $\text{Cr}^{3+}$ , в то время как в СС содержатся и взаимодействующие ферромагнитные кластеры.

#### Введение

В настоящее время в физике спиновых стекол (СС) одним из основных является вопрос о существовании фазового перехода СС – парамагнетизм (ПМ) и СС – дальний магнитный порядок (ДМП). Изучению первого из них посвящено большое количество работ, в которых применяются различные методы исследования: эффект Мессбауэра, рассеяние нейтронов, деполяризация положительных мюонов, ЯМР, ЭПР и др. Однако ни один из этих методов не позволяет однозначно установить наличие фазового перехода СС–ПМ. Фазовый переход СС–ДМП гораздо менее изучен. В настоящей работе приводится новое экспериментальное доказательство существования фазовых переходов в системе твердых растворов  $x \text{CuCr}_2\text{Se}_4 - (1-x)\text{Cu}_{0,5}\text{Me}_{0,5}\text{Cr}_2\text{Se}_4$  ( $\text{Me} = \text{In}, \text{Ga}$ ): СС–ПМ в составах с  $x \leq 0,5$  и СС–ДМП в составе с  $x = 0,125$  ( $\text{Me} = \text{Ga}$ ).

Известно, что в магнетиках магнетосопротивление  $\Delta\rho/\rho$  пропорционально квадрату намагниченности  $\sigma^2$  и наклон кривых зависимости  $(\Delta\rho/\rho)(\sigma^2)$  в области сильных магнитных полей характеризует интенсивность парапроцесса при данной температуре. Для выяснения природы СС-фазы целесообразно сравнить этот наклон для двух близких по составу образцов, один из которых является магнетиком с ДМП, а другой – СС, при одинаковых температурах, а также для возвратных спиновых стекол

(ВСС) в различных температурных областях, а именно в областях, соответствующих ДМП- и СС-состоянию. Если наклон этих кривых близок по величине, то СС-фаза, по всей видимости, представляет собой систему кластеров, внутри которых тот же магнитный порядок, что и в фазе с ДМП. Если же наклон существенно различается, то можно говорить о существенном отличии СС-фазы от фазы с ДМП. Можно предположить несколько вариантов структуры СС-фазы, а именно: а) структура из кластеров с тем же магнитным порядком, что и фаза с ДМП, кластеров с иным магнитным порядком, чем фаза с ДМП, и других носителей магнитных моментов, например спинов отдельных ионов; б) структура из кластеров с иным магнитным порядком, чем фаза с ДМП; в) из кластеров с иным магнитным порядком, чем фаза с ДМП, и отдельных магнитных ионов; г) из спинов отдельных магнитных ионов. В последнем случае следует ожидать отсутствия частотной зависимости температуры замораживания  $T_f$ . Подобное сравнение наклона зависимостей  $(\Delta\rho/\rho)(\sigma^2)$  можно провести и для одного образца с СС-состоянием в различных температурных областях: при  $T > T_f$  и  $T < T_f$ .

Ранее нами были изучены магнитные и электрические свойства системы твердых растворов  $x \text{CuCr}_2\text{Se}_4 - (1-x)\text{Cu}_{0,5}\text{Me}_{0,5}\text{Cr}_2\text{Se}_4$  ( $\text{Me} = \text{In}, \text{Ga}$ ) [1–6]. Было показано, что составы с  $0 \leq x \leq 0,1$  являются невырожденными полупроводниками и об-

ладают свойствами, характерными для СС [1, 2]. Их магнетосопротивление изотропно и отрицательно. В районе температуры  $T_f$  наблюдался максимум на температурной зависимости  $|\Delta\rho/\rho|$ . В максимуме магнетосопротивление достигало гигантской величины ( $\sim 100\%$ ) в поле 40 кЭ. Для этих СС выполнялись соотношения статического и динамического скейлинга и соотношение Алмейды–Таулесса [4]. В области концентраций  $0,1 \leq x \leq 0,2$  наблюдалось состояние ВСС, появление которого сопровождалось вырождением полупроводника [2]. Оказалось, что у ВСС величина  $T_f$ , определенная как температура начала резкого спада на температурной зависимости начальной восприимчивости, измеренной в переменном магнитном поле, не зависит от частоты измерения в диапазоне от 0,2 Гц до 8 кГц. Немного ниже  $T_f$  наблюдается резкий касп отрицательного изотропного магнетосопротивления, величина которого достигает  $\sim 6\%$  в поле 40 кЭ. Составы с  $x > 0,6$  являются аморфными ферромагнетиками. Таким образом, в системе твердых растворов  $x \text{CuCr}_2\text{Se}_4 - (1-x) \text{Cu}_{0,5}\text{Me}_{0,5}\text{Cr}_2\text{Se}_4$  ( $\text{Me} = \text{In}, \text{Ga}$ ) нами наблюдался концентрационный переход от СС-состояния к ферромагнетизму через ВСС-состояние, который сопровождался изменением проводимости от полупроводниковой к металлической, и, следовательно, эта система является удобным объектом для проверки приведенной выше гипотезы, устанавливающей взаимосвязь между интенсивностью парапроцесса и структурой СС-фазы.

Отметим, что СС изучаемой системы — это новый класс СС, отличающихся от других тем, что в них магнитные ионы  $\text{Cr}^{3+}$  расположены в решетке регулярно и концентрация их аномально высока. Однако обменные взаимодействия между ближайшими соседями — ионами  $\text{Cr}^{3+}$ , расположенными в октаэдрической подрешетке, знакопеременны вследствие влияния на обмен разновалентных диамагнитных ионов тетраэдрической подрешетки. Из-за неполного кристаллографического упорядочения в тетраэдрической подрешетке между разновалентными ионами  $\text{Cu}^+$ ,  $\text{In}^{3+}$ ,  $\text{Ga}^{3+}$  в изучаемых соединениях ДМП не может установиться и реализуется СС-состояние.

## 1. Образцы и техника эксперимента

В настоящей работе на тех же образцах, что и в работах [1, 6], изучена зависимость магнетосопротивления от квадрата намагниченности  $(\Delta\rho/\rho)(\sigma^2)$  для СС с  $x = 0; 0,1$  ( $\text{Me} = \text{In}$ ) и  $x = 0,03; 0,05$  ( $\text{Me} = \text{Ga}$ ) и для ВСС с  $x = 0,125$  ( $\text{Me} = \text{Ga}$ ). Для этого баллистическим методом была измерена намагниченность указанных образцов в сильных магнитных полях. Ошибка измерений составляла 2,5%. Более детально и в большем интервале температур, чем в работах [3, 5], было измерено магнетосопротивление образцов вышеперечисленных составов. Для измерений использовался четырехзондовый метод. Ошибка измерений составляла 3%. Намагниченность и магнетосопротивление измерялись в полях до 45 кЭ в области температур как выше, так и ниже  $T_f$ .

## 2. Результаты и их обсуждение

Основные полученные результаты представлены в таблице.

**Возвратное спиновое стекло: состав с  $x = 0,125$  ( $\text{Me} = \text{Ga}$ ).** На рис. 1 представлены изотермы намагниченности  $\sigma(H)$ , а на рис. 2 — изотермы магнетосопротивления  $(\Delta\rho/\rho)(H)$  для ВСС с  $x = 0,125$  ( $\text{Me} = \text{Ga}$ ). Видно, что как кривые  $\sigma(H)$ , так и кривые  $(\Delta\rho/\rho)(H)$  не насыщаются вплоть до 45 кЭ — максимальных полей, в которых проводились измерения. Величина спонтанной намагниченности этого образца, определенная по методу Белова–Аррота, уменьшается от  $2,5 \mu_B/\text{мол.}$  при 5,2 К до  $2,2 \mu_B/\text{мол.}$  при 11 К ( $T_f = 10,5$  К) и до  $0,8 \mu_B/\text{мол.}$  при 32,2 К ( $T_c = 34,5$  К). Эти величины значительно меньше  $6 \mu_B/\text{мол.}$  — намагниченности, которая существовала бы при полном ферромагнитном упорядочении моментов двух ионов  $\text{Cr}^{3+}$ , входящих в химическую формулу. Ранее нами было показано, что ниже  $T_f$  в ВСС существует бесконечный ферромагнитный кластер, внутри которого расположены микрообласти с СС-состоянием, разрушающимся при нагревании выше  $T_f$  [2]. Такой вывод был сделан на основании того, что ниже  $T_f$  существовала спонтанная намагниченность, определенная с помощью метода Белова–Аррота. Подобное поведение наблюдалось

Электрические и магнитные свойства спиновых стекол и возвратного спинового стекла системы  
 $x \text{CuCr}_2\text{Se}_4 - (1-x) \text{Cu}_{0,5}\text{Me}_{0,5}\text{Cr}_2\text{Se}_4$  ( $\text{Me} = \text{In}, \text{Ga}$ )

Состав		Тип упорядочения	$T_f$ (К)	$\Delta\rho/\rho$ (%) в поле 40 кЭ, $T = T_f$	Наклон зависимостей $(\Delta\rho/\rho)(\sigma^2)$ в различных температурных областях		Энергия активации проводимости $E$ (мэВ)	
$x$	Me				$T < T_f$	$T > T_f$	$T < T_f$	$T > T_f$
0	In	СС	5,0	88	$3,0 \cdot 10^{-2}$	$0,7 \cdot 10^{-2}$	1,49	6,6–17,0
0,01	In	СС	5,5	56	$1,3 \cdot 10^{-2}$	$0,4 \cdot 10^{-2}$	1,20	10,9–31,1
0,03	Ga	СС	6,6	98	$5,0 \cdot 10^{-2}$	$1,0 \cdot 10^{-2}$	2,61	17,4
0,05	Ga	СС	8,6	96	$1,8 \cdot 10^{-2}$	$0,7 \cdot 10^{-2}$	6,20	7,2–13,2
0,125	Ga	ВСС	10,5	6,3	$1,7 \cdot 10^{-3}$	$3,5 \cdot 10^{-3}$	0,10	5,3
			$T_c = 34$					

Величина  $T_f$  определена по максимуму нелинейной магнитной восприимчивости  $\chi_{nl}$ .

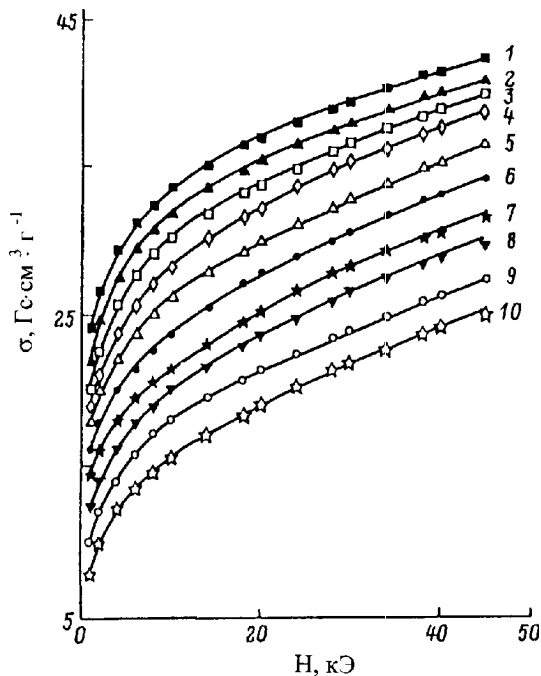


Рис. 1. Изотермы намагниченности для ВСС с  $x = 0,125$  ( $\text{Me} = \text{Ga}$ ) при  $T$  (К) = 4,8 (1); 7,5 (2); 11,0 (3); 13,4 (4); 18,0 (5); 23,2 (6); 28,0 (7); 32,2 (8); 38,5 (9) и 48,0 (10)

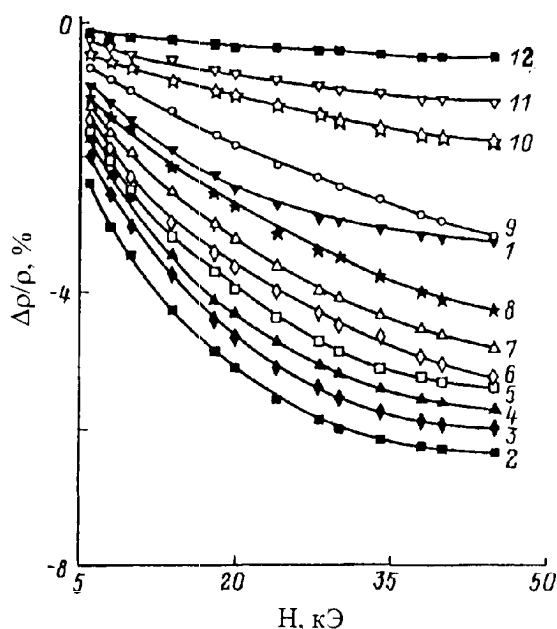


Рис. 2. Изотермы магнетосопротивления для ВСС с  $x = 0,125$  ( $\text{Me} = \text{Ga}$ ) при  $T$  (К) = 4,2 (1); 6,1 (2); 7,4 (3); 8,6 (4); 10,3 (5); 12,2 (6); 15,0 (7); 17,7 (8); 22,0 (9); 26,7 (10); 31,5 (11) и 41,0 (12)

и в ВСС-сплавах AuFe [7]. Поскольку магнетосопротивление изучаемого ВСС изотропно, то, следовательно, для него не выполняется второе правило четных эффектов Акулова. Это свидетельствует о том, что объем СС-фазы значительно превышает объем бесконечного ферромагнитного кластера.

Изотермы зависимостей  $(\Delta\rho/\rho)(\sigma^2)$  в области сильных магнитных полей 30–45 кЭ приведены на рис. 3. Видно, что наклон этих зависимостей, представляющих собой прямые линии, один и тот же в пределах 10% в каждой из температурных областей выше и ниже  $T_f = 10,5$  К. Однако при переходе

через  $T_f$  этот наклон изменяется, а именно: в области температур  $T_f < T < T_c$  он примерно в два раза больше, чем при  $T < T_f$ . Этот факт свидетельствует об увеличении интенсивности парапроцесса при  $T > T_f$ , что связано, по-видимому, с существенной перестройкой спиновой системы в  $T_f$ . Таким образом, обнаруженное нами увеличение интенсивности парапроцесса при переходе от СС-фазы к фазе с ДМП в совокупности с полученными ранее фактами — наличием максимума на температурной зависимости абсолютной величины магнетосопротивления в районе  $T_f$ , возрастанием энергии активации проводимости примерно в 50 раз при  $T > T_f$  по сравнению с  $T < T_f$  и независимостью самой  $T_f$  от частоты измерения — позволяет заключить, что, во-первых, при  $T_f$  происходит термодинамический фазовый переход СС–ДМП и, во-вторых, СС-фаза состоит из спинов отдельных ионов  $\text{Cr}^{3+}$ . Таким образом, в изученном составе обнаружено истинное СС-состояние.

**Спиновые стекла: составы с  $x = 0; 0,01$  ( $\text{Me} = \text{In}$ ) и  $x = 0,03; 0,05$  ( $\text{Me} = \text{Ga}$ ).** На изотермах намагниченности и магнетосопротивления СС с  $x = 0; 0,01$  ( $\text{Me} = \text{In}$ ) и  $x = 0,03; 0,05$  ( $\text{Me} = \text{Ga}$ ) насыщение не достигается в полях до 45 кЭ. Но они, в отличие от ВСС, обладают гигантским отрицательным магнетосопротивлением (таблица). Причем для составов с  $x = 0,03$  и  $0,05$  ( $\text{Me} = \text{Ga}$ ) максимум на зависимостях  $(\Delta\rho/\rho)(T)$  не был достигнут вплоть до самых низких температур, при которых проводились измерения: 1,8 и 4,2 К соответственно. Для всех изученных СС зависимости  $(\Delta\rho/\rho)(\sigma^2)$  представляют собой прямые линии в области сильных полей 30–45 кЭ. На рис. 4 показана зависимость  $(\Delta\rho/\rho)(\sigma^2)$  для СС с  $x = 0$  ( $\text{Me} = \text{In}$ ). Для каждого состава наклон указанных прямых примерно один и тот же (с точностью до 20%) в СС-области, но уменьшается в 3–5 раз при переходе в ПМ-область, где он также постоянен с точностью до 25%. Это указывает на то, что при  $T = T_f$  происходит существенная перестройка спиновой сис-

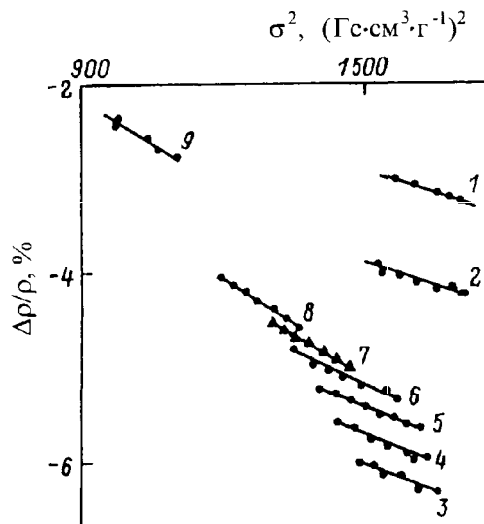


Рис. 3. Зависимость магнетосопротивления от квадрата намагниченности для ВСС с  $x = 0,125$  ( $\text{Me} = \text{Ga}$ ) в районе  $T_f$  при  $T$  (К) = 4,2 (1); 5,1 (2); 6,1 (3); 7,4 (4); 8,6 (5); 10,3 (6); 12,2 (7); 15,0 (8) и 22,0 (9)

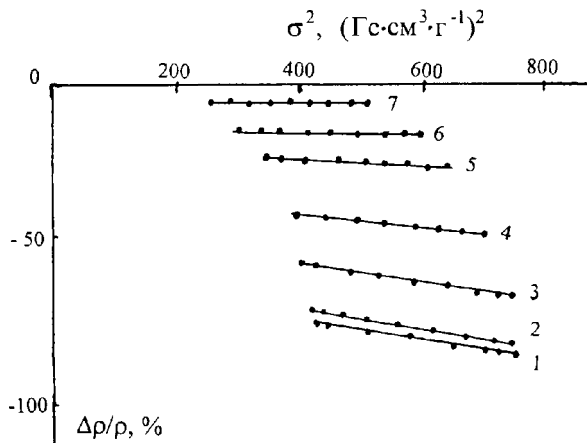


Рис. 4. Зависимость магнетосопротивления от квадрата намагниченности для СС с  $x = 0$  (Ме = In) в районе  $T_f$  при  $T$  (К) = 4,4 (1); 5,4 (2); 7,0 (3); 9,0 (4); 12,0 (5); 15,0 (6) и 20,0 (7)

темы. Таким образом, получено еще одно подтверждение существования фазового перехода СС–ПМ. Гигантская величина  $\Delta\rho/\rho$  в изучаемых СС свидетельствует о существовании в них ферромагнитных кластеров ферронного типа [8]. По-видимому, ниже  $T_f$  это взаимодействующие кластеры, которые разрушаются выше  $T_f$ . Образование таких кластеров (примесных ферронов) возможно в соединениях  $\text{Cu}_{0.5}\text{Me}_{0.5}\text{Cr}_2\text{Se}_4$  (Ме = In, Ga), легированных ионами  $\text{Cu}^{2+}$ , т. е. в составах с  $x = 0,01$  (Ме = In) и  $x = 0,03; 0,05$  (Ме = Ga). В этих составах дырке примеси из-за выигрыша в энергии  $s$ - $d$ -обмена выгодно локализоваться около примеси в созданной ею ферромагнитной микрообласти. Однако и в нелегированном СС с  $x = 0$  (Ме = In), по-видимому, имеют место ферромагнитные кластеры типа примесных ферронов. Возможно, их наличие вызвано флуктуациями в расположении ионов  $\text{In}^{3+}$  и  $\text{Cu}^+$  из-за неполного кристаллографического порядка в тетраэдрической подрешетке.

Заметим, что для всех составов с СС-состоянием прямые линии зависимостей  $(\Delta\rho/\rho)(\sigma^2)$  не отсекают положительных отрезков на оси  $\sigma^2$  (см. рис. 4), что говорит об отсутствии спонтанной намагниченности, а следовательно, и ДМП. Аналогичный результат получается и из построения кривых Белова–Аррота [1].

Сравнение наклона зависимостей  $(\Delta\rho/\rho)(\sigma^2)$  для СС с  $x = 0,05$  (Ме = Ga) и близкого к нему по составу ВСС с  $x = 0,125$  (Ме = Ga) в фазе с ДМП показало, что они различаются в пять раз. Следовательно, структура фазы с ДМП существенно отличается от структуры СС-фазы.

**Зависимость магнетосопротивления от величины магнитного поля.** Представляют интерес и зависимости магнетосопротивления для СС и ВСС от величины магнитного поля  $H$ . Теоретическое описание зависимости  $(\Delta\rho/\rho)(H)$  для СС и ВСС в настоящее время отсутствует. Для металлических ферромагнетиков на основании общих термодинамических соображений с учетом свойств фазовых переходов второго рода в работах [9, 10] было показано, что  $\Delta\rho/\rho \sim H^{2/3}$  в точке Кюри  $T_c$ ,  $\Delta\rho/\rho \sim H^2$  для  $T \gg T_c$ , а в рай-

оне  $T < T_c$  в области парапроцесса  $\Delta\rho/\rho \sim H$ . Оказалось, что эти соотношения справедливы и для ферритов [11]. На рис. 5 в двойном логарифмическом масштабе представлены зависимости  $(\Delta\rho/\rho)(H)$  в сильных магнитных полях в области температур  $6,1 \div 38,5$  К для ВСС с  $x = 0,125$  (Ме = Ga) (его  $T_c = 34,5$  К). Видно, что экспериментальные точки удовлетворительно ложатся на прямые. Из наклона этих прямых были получены следующие соотношения:  $\Delta\rho/\rho \sim H^{0,6}$  при  $T \approx T_c$ ,  $\Delta\rho/\rho \sim H^{1,5}$  при  $T > T_c$ ,  $\Delta\rho/\rho \sim H^{0,4}$  при  $T_f < T < T_c$  и  $\Delta\rho/\rho \sim H^{0,2}$  при  $T < T_f$ . Аналогично для СС-составов мы получили зависимости  $\Delta\rho/\rho \sim H^{0,2}$  для  $T < T_f$  и  $\Delta\rho/\rho \sim H^{0,1}$  для  $T > T_f$ . Сравнение полученных соотношений с приведенными выше для ферромагнетиков и ферритов показывает, что магнетосопротивление для изученных в настоящей работе образцов слабее зависит от поля во всех температурных диапазонах. Как указывалось выше, в исследуемом ВСС области с СС-состоянием расположены внутри бесконечного ферромагнитного кластера. При  $T > T_f$  в этих областях, по-видимому, имеет место ПМ-состояние. Эти области занимают более половины объема образца, что и приводит к более слабой, чем для чистого ферромагнетика, зависимости магнетосопротивления от поля.

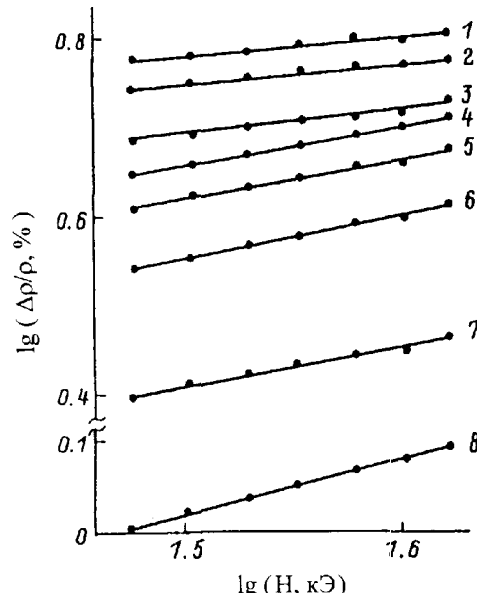


Рис. 5. Зависимость  $\lg(\Delta\rho/\rho)$  от  $\lg H$  для ВСС с  $x = 0,125$  (Ме = Ga) при  $T$  (К) = 6,1 (1); 7,4 (2); 10,3 (3); 12,2 (4); 15,0 (5); 17,7 (6); 22,0 (7) и 38,5 (8)

### Заключение

Таким образом, получено еще одно экспериментальное доказательство существования фазовых переходов СС–ПМ и СС–ДМП в системе твердых растворов  $x\text{CuCr}_2\text{Se}_4-(1-x)\text{Cu}_{0.5}\text{Me}_{0.5}\text{Cr}_2\text{Se}_4$  (Ме = In, Ga). Впервые природа СС-фазы проанализирована на основании изучения зависимости магнетосопротивления от квадрата намагниченности.

Работа выполнена при поддержке РФФИ (гранты 96-02-19684а, 96-15-96429).

**Литература**

1. Belov K.P., Koroleva L.I., Kuzminykh A.I. et al. // Phys. Lett. 1983. **94A**, No. 5. P. 235.
2. Королева Л.И., Кузьминых А.И. // ЖЭТФ. 1983. **84**, № 5. С. 1882.
3. Королева Л.И., Кузьминых А.И. // ФТТ. 1984. **26**, № 1. С. 56.
4. Абрамович А.И., Вировец Т.В., Королева Л.И. // ЖЭТФ. 1989. **96**, № 3(9). С. 1066.
5. Abramovich A.I., Virovets T.V., Koroleva L.I. // Phys. Lett. 1991. **153A**, No. 4–5. P. 248.
6. Koroleva L.I., Virovets T.V., Abramovich A.I. // J. Magn. Magn. Mat. 1992. **116**, No. 1. P. 83.

7. Coles B.R., Sarkissian B.V., Taylor R.N. // Phil. Mag. 1978. **37**. P. 489.
8. Нагаев Э.Л. Физика магнитных полупроводников. М.: Наука, 1979.
9. Белов К.П. Упругие, тепловые и электрические явления в ферромагнетиках. М.: Изд-во техн.-теор. лит-ры, 1957.
10. Белов К.П. Магнитные превращения. М.: Гостехиздат, 1959.
11. Крупичка С. Физика ферритов и родственных им магнитных окислов. М.: Мир, 1976.

Поступила в редакцию  
10.07.98

УДК 669.017.3:533.77

## НЕРАВНОВЕСНЫЕ ФАЗОВЫЕ ПРЕВРАЩЕНИЯ ОСЦИЛЛИРУЮЩЕГО ТИПА В СПЛАВЕ Pd–Er, РЕЛАКСИРУЮЩЕМ ПОСЛЕ НАСЫЩЕНИЯ ВОДОРОДОМ

**В. М. Авдюхина, А. А. Кацнельсон, Г. П. Ревкевич**

(кафедра физики твердого тела)

**Обнаружены осциллирующие изменения объемного содержания фаз и разности концентрации атомов эрбия в них в сплаве Pd–Er после насыщения сплава водородом. Предложена модель, согласно которой это явление связано с конкуренцией восходящей и градиентной диффузии в неравновесной среде. Неравновесность среды обеспечивается наличием обогащенных водородом комплексов дефект–металл.**

Изучение влияния водорода на атомную и дефектную структуру Pd и сплавов на его основе показало, что оно весьма разнообразно [1–5]. Так, в последние годы было установлено [3], что в Pd, Pd–Sm, Pd–Cu и других сплавах возникшие при шлифовке и полировке образцов ориентированные микронапряжения растяжения в результате насыщения водородом преобразуются в микронапряжения сжатия. Величина изменения напряжений растет при возрастании разности атомных радиусов палладия и легирующего компонента. Установлено, что водород подавляет перитектические реакции в сплавах Pd–Re [4] и приводит к появлению сегрегаций в сплавах Pd–Pt [5]. Однако все эти исследования не могут быть отнесены к классу *in situ*.

Между тем сплавы Pd–H и Pd–M–H являются открытыми неравновесными системами, и в связи с этим целесообразно проследить за поведением их структурных характеристик в режиме реального времени. Подобные исследования на палладиевых сплавах были начаты нами в работах [6–8], и тогда впервые было установлено, что, например, в сплавах Pd–W при релаксации после насыщения водородом происходят осциллирующие и бифуркационные изменения дефектной структуры. Одной из важнейших проблем в современной физике сплавов считается проблема фазовых превращений. Особый интерес представляет влияние водорода на характер фазовых превращений в сплавах. Для подобных исследований

очень удобны сплавы на основе палладия, поскольку в них растворяется большое количество водорода.

Целью настоящей работы было выяснение поведения насыщенной водородом системы Pd–Er, находящейся вблизи межфазной границы. Для реализации этой цели в настоящей работе поставлен прямой рентгенодифракционный эксперимент *in situ*. Это позволило проследить за тем, как меняется дифракционная картина по мере хранения образца после его насыщения водородом. Результаты, касающиеся трансформации микронапряжений, уже опубликованы в работе [9].

### Методика эксперимента

Объектом исследования служил образец сплава Pd–8 ат.% Er, который после приготовления был гомогенизирован при температуре 900 °C в течение 24 ч и затем подвергнут закалке. После закалки поверхность образца механически шлифовалась и полировалась. Образец электролитически насыщался водородом при плотности тока 80 mA/cm<sup>2</sup> в течение 60 мин и хранился на воздухе. Регистрация рентгеновской дифракционной картины была проведена в реальном масштабе времени на дифрактометре ДРОН-УМ2, сопряженном с персональным компьютером PC 486 DX2. Использовалось монохроматизированное Cu- $K\alpha_1$ -излучение. Регистрировались дифракционные максимумы (111), (200), (220), (311).